

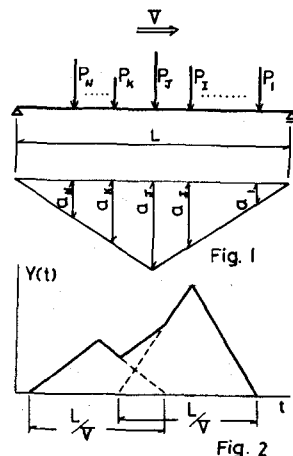
道路橋の安全性に関する確率論的考察

大阪大学工学部 正員 前田幸雄
大阪大学工学部 学生員 ○宮村隆夫

まえがき 本文は、自動車重量分布、車頭間隔分布等を用いて道路橋主桁の作用荷の分布を求める一手法と、それを適用して既設道路橋の静的疲劳安全性評価の一例を示すものである。

ピーチ龙の発生条件 主桁の実効龙の三次形は、平均的三次形と高周波成分の重畠したものとする。この高周波成分の影響が衝撃荷重に与り考慮出来るものとし、スムーズ化の極小値を全て零と考へる。もしもとすれば、龙の三次形のピーチの分布を求めるには、静的疲劳安全性の評価は可能となる。今、単純構造上を集中荷重列が等速度で通過する状況を考へる。支点中央より着目すると曲げモーメント三次形 $Y(t)$ は、等速度荷重の重畠したものとなる。 $Y(t)$ が時刻 t でピーチを生じるためには、i) 支点中央より荷重列が通り、ii) P_1, P_2, \dots, P_n の式が成立しなければならぬ。又その時の $Y(t)$ は(2)式で表される。

$$P_1 > \left| \frac{1}{L} P_2 - \sum_{j=2}^{n-1} P_j \right| \quad (1), \quad Y(t) = \sum_{i=1}^n (a_i P_i) \quad (2)$$



i) P_1 (自動車重量) \propto p.d.f (確率密度函数), $a_1 P_1 \propto$ p.d.f の計算。 $f_1(x)$, $f_1(y)$ とする。
 $f_1(y) = f_1(x)/a_1 \quad (3)$

ii) $\sum_{i=1}^n P_i \propto \sum_{i=1}^n (a_i P_i)$ の同時 p.d.f の計算。 $f_2(x, y)$ とする。单純構造の 1 台の自動車重量ヒートマップ $f_1(x)$ と $x = t$ の同時 p.d.f. $f_2(x, y)$ は $= R$ 式で表される。

$$f_2(x, y) = f_1(x)/a_1 \quad (4)$$

又 2 台, 3 台, … の場合を \otimes する \otimes $f_2(x, y), f_3(x, y), \dots$ とする。

$$\begin{aligned} f_2(x, y) &= \int_{y_0}^y \int_{x_0}^x f_1(x-x_0, y-y_0) \cdot f_1(x_0, y_0) dx_0 dy_0 \\ f_3(x, y) &= \int_0^y \int_{y_0}^y f_2(x-x_0, y-y_0) \cdot f_1(x_0, y_0) dx_0 dy_0 \end{aligned} \quad \left. \right\} \quad (5)$$

区间 $\frac{1}{L}$ 内の自動車存在確率が $0.8, 1.0, \dots$ に対応して $P(0), P(1), \dots$ と記す。すなはち $f_2(x, y)$ は。

$$f_2(x, y) = \delta(x) \cdot P(0) + \sum_{i=1}^n [f_1(x, y) \cdot P(i)] \quad (6) \quad \delta(x) : \text{dirac's delta function}$$

iii) $\sum_{i=1}^n P_i - \sum_{j=2}^{n-1} P_j \propto \sum_{i=1}^n (a_i P_i) + \sum_{j=2}^{n-1} (a_j P_j)$ の同時 p.d.f の計算。 $f_{II}(x, y)$ とする。

$$f_{II}(x, y) = \int_{y_0}^y \int_{x_0}^x f_2(x-x_0, y-y_0) \cdot f_2(x_0, y_0) dy_0 dx_0 \quad (7)$$

iv) $\sum_{i=1}^n (a_i P_i)$ の p.d.f の計算。 $f(y)$ とする。ここで $\int_0^\infty f(y) dy < 1$ となる。

$$f(y) = \int_0^y \int_{y_0}^y f_{II}(x_0, y-y_0) dx_0 dy_0 \quad (8)$$

既設道路橋の安全性評価

- 対象道路橋：総荷重合成荷重標準設計（建設省告示第 38 号）から選んで着 $1/\alpha$ 橋である。
- 自動車重量：大、中、小 3 型車から成るものの比し、各々が正規分布を従うとして、混合比、平均重量、変動係数はそれとれ $0.02, 0.23, 0.75, 20t, 10t, 2t, 0.3, 0.4, 0.6$ とした。各車種の混合比を

$\alpha_1, \alpha_2, \alpha_3$ 自動車重量の p.d.f を $\phi_1(x), \phi_2(x), \phi_3(x)$ とする。

$$f_T(x) = \alpha_1 \cdot \phi_1(x) + \alpha_2 \cdot \phi_2(x) + \alpha_3 \cdot \phi_3(x) \quad (1)$$

iii) 重頭(角隅): 平均値 $\mu = 0.02^m$ の 指数分布に従うと可
能。 $P(x)$ は次式で表すことができる。

$$P(x) = (\mu \cdot \frac{1}{x})^{\frac{1}{\lambda}} e^{-\mu \cdot \frac{1}{x}/\lambda} \quad (2)$$

iv) 載荷方法: 積軸方向の自動車同時存在可能台数は、支
向 40^m で 5 台, $2d^m$ で 2 台とし、至いた独立かつ集中荷重
として取扱。各橋軸方向に 2 台と現行
示方書と同じ載荷方法を用いた。

v) ピーク荷重分布計算結果: Fig.3 に計算結果
を示した。外筋たてには自動車の直上車線支
向中央通過を 1 とし、中筋たてには 1 ずつか
一方の車線支向中央通過を 1 とし 2 となる。

vi) 静的破壊確率の計算: 静的強度として材料
(SM50) の降伏点荷力をとるものとし、それが
平均値 3750 kg/cm^2 、変動係数 0.08 の対数正規分
布に従うとした。破壊確率の計算には(1)式を用

ii) た。ここの $f_T(x)$ は强度の p.d.f., $f_S(x)$ は荷重(活荷重荷力
+ 死荷重荷力 + 衝撃による荷力)の p.d.f., N は載荷回数。

$$P_f = \int_0^{Nc} f_T(x) dx - \left(\int_0^{\infty} f_S(y) dy \right)^N dx \quad (1)$$

vii) 疲労破壊確率の計算: P-S-N 曲線は面積数で 3 つで
平行直線群とするとものとし、死荷重荷力の影響は修正
Goodman 図表(直線で表かざれるものとする)により考
慮した。疲労被害則として修正直線被害則を採用する比
疲労破壊確率は次式で表すやう。

$$P_f = \int_0^{Nc} f_{Nc}(x) dx \quad (2)$$

ここで $f_{Nc}(x)$: $0 \sim S_0$ 付振疲労寿命の p.d.f.

$f_S(x)$: ピーク荷重(活荷重荷力 + 衝撃による荷力)の p.d.f.

θ : P-S-N 曲線の傾き

N : 載荷回数

$$C = \frac{N}{S_0} \int_0^{\infty} f_S(s) ds$$

疲労寿命は対数正規分布に従うものとし、 $\theta = 6, 200^{\text{回}}$ 時間強度中央値を 1500 kg/cm^2 、寿命の対
数標準偏差を 0.25 として計算した。

viii) 破壊確率計算結果: 静的破壊確率の計算結果を Fig.4 に一点鋼線で、疲労破壊確率の計算
結果を Fig.4 に実線で示した。

記号	橋種	巾員	支間長	死荷重	軸距
ST1	1等橋	6 m	40 m	1108 kg/m^2	91.457
ST2	"	"	"	1045 kg/m^2	47.557
ST3	"	"	20 m	388 kg/m^2	91.457
ST4	"	"	"	840 kg/m^2	47.557
ST5	2等橋	"	"	1122 kg/m^2	91.457

表 1

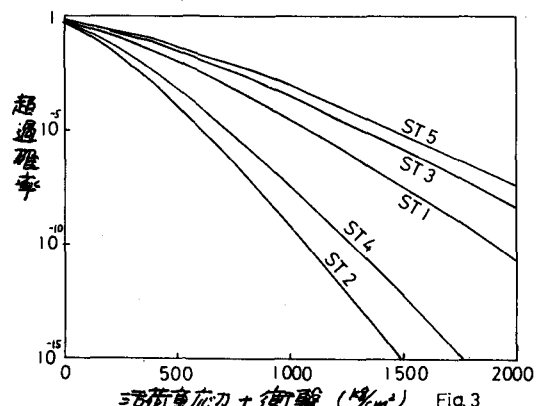


Fig. 3

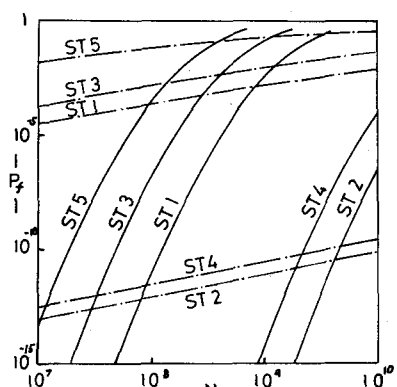


Fig. 4